

Hochsperrender Leistungsthyristor mit Schraubgehäuse,  
vorwiegend für netzgeführte Stromrichter, z. B. geregelte  
Gleichrichtergeräte, Wechsel- und Drehstromsteller

High voltage power thyristor with screw bottom,  
mainly for line-commutated converters, for example regulated  
rectifier units, alternating-current and three-phase regulators

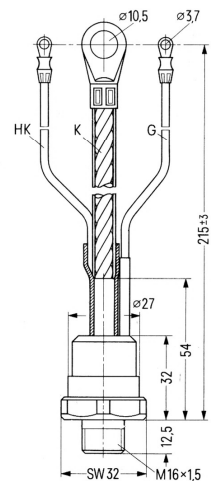
Siliziumtablette  
Silicon wafer

volldiffundiert  
full diffused

Strom- und Wärmeübergang  
Current and heat transition

Edelmetall-Druckkontakt  
Precious metal pressure-  
bonded contact

Angepaßte Kühlkörper  
Matched heat sinks



## 1. Spannungsgrenzwerte

### 1.1. Höchste positive bzw. negative periodische Spitzensperrspannung

### Maximum voltage ratings

Maximum repetitive peak off-state or reverse voltage

BSt L35 40*	BSt L35 40*
BSt L35 53	BSt L35 53
BSt L35 60	BSt L35 60
BSt L35 66	BSt L35 66
BSt L35 80	BSt L35 80
BSt L35 90	BSt L35 90
BSt L35 100	BSt L35 100
BSt L35 110	BSt L35 110
BSt L35 120*	BSt L35 120*

$U_{DRM}$	600 V
$U_{RRM}$	800 V
	900 V
	1000 V
	1200 V
	1350 V
	1500 V
	1650 V
	1800 V

### 1.2. Höchste Durchlaßspannung bei $i_T = 450$ A

Maximum on-state voltage at  $i_T = 450$  A

### 1.3. Ersatzgerade für Verlustrechnung

Equivalent line for loss calculation

## 2. Stromgrenzwerte

### Maximum current ratings

#### 2.1. Dauergrenzstrom (Sinusform)

Maximum mean on-state current (sinusoidal)

#### 2.2. Grenzeffektivstrom

Maximum r.m.s. on-state current

#### 2.3. Grenzgleichströme $I_{TAV}$ bzw. Dauereffektivstrom $I_{TRMS}$ (siehe Erläuterungen auf Seite 13)

Maximum d.c. current  $I_{TAV}$  or continuous r.m.s. current  $I_{TRMS}$  (see explanatory notes on page 28)

	Kühlkörper, Kühlart Heat sink, method of cooling	Kühlmitteltemperatur Coolant temperature	Kühlmittelmenge Coolant flow rate	$\lambda = 180^\circ$	$180^\circ$	$120^\circ$	$60^\circ$	$180^\circ$	$i_{TAV}$	$i_{TRMS}$
HK02	Luftselbstkühlung natural air cooling	45°C			45 A	46 A	43 A	36 A	70 A	
HK02	Fremdlüftung forced air cooling	35°C	35 l/sec	105 A	110 A	98 A	78 A	165 A		
HK02	Fremdlüftung forced air cooling	35°C	65 l/sec	115 A	122 A	108 A	85 A	180 A		
LK17	Luftselbstkühlung natural air cooling	45°C			68 A	71 A	64 A	53 A	105 A	
LK17	Fremdlüftung forced air cooling	35°C	42 l/sec	128 A	135 A	118 A	92 A	200 A		
LK17	Fremdlüftung forced air cooling	35°C	100 l/sec	140 A	145 A	126 A	96 A	220 A		

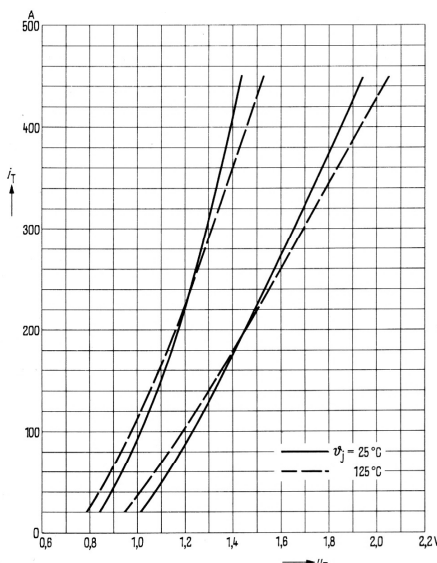
2.4. Stoßstrom-Grenzwert für 10 ms Dauer	Maximum surge on-state current, 10 ms duration	$\theta_j + 25^\circ\text{C}$ +125°C	$I_{TSM}$	2900 A 2530 A	
2.5. Grenzlastintegral für 2—5 ms bzw. 10 ms Dauer	$I^2t$ value for a duration of 2 to 5 ms or 10 ms	$\theta_j + 25^\circ\text{C}$ +125°C	$\int I^2 dt$	2—5 ms 28000 20000	10 ms 42000 A <sup>2</sup> s 32000 A <sup>2</sup> s
2.7. Positiver bzw. negativer Sperrstrom bei $U_{DRM}$ bzw. $U_{RRM}$	Reverse or off-state current for $U_{DRM}$ or $U_{RRM}$	$\theta_j + 125^\circ\text{C}$	$I_D, I_R$	$\leq 15 \text{ mA}$	
<b>3. Steuerkreisgrenzwerte</b>	<b>Maximum gating circuit ratings</b>				
3.1. Oberer Zündstrom bzw. Zündspannung bei $u_D \geq 2 \text{ V}$	Minimum gate trigger current and gate trigger voltage for $u_D \geq 2 \text{ V}$	$\theta_j - 40^\circ\text{C}$ + 25°C +125°C	$I_{GT}, U_{GT}$	350 mA 250 mA 150 mA	1,8 V 1,5 V 1,2 V
3.2. Höchster nichtzündender Steuerstrom bzw. Steuerspannung bei 50% $U_{DRM}$	Maximum gate-non-trigger current and gate-non-trigger voltage for 50% $U_{DRM}$	$\theta_j + 125^\circ\text{C}$	$I_{GD}, U_{GD}$	10 mA	0,2 V
3.4. Höchster zulässiger Steuerstrom bei $U_{DRM}$ Scheitelwert Effektivwert	Maximum admissible gate current for $U_{DRM}$ peak value r.m.s. value		$I_G$ $I_{G \text{ eff}}$	10 A 3 A	
3.7. Mittlere Steuerverluste, Grenzwert Bei Ermittlung der Stromgrenzwerte berücksichtigt	Maximum admissible mean gate power loss included in calculation of the maximum on-state current		$P_{GAV(I)}$ $P_{GAV}$	20 W 1 W	
3.8. Höchster zulässiger negativer Steuerstrom Scheitelwert	Maximum admissible negative gate current peak value		$I_{GRM}$	300 mA	
<b>4. Dynamische Werte und Schaltverhalten</b>	<b>Dynamic values and switching behaviour</b>				
4.1. Oberer Haltestrom bei $U_D \geq 6 \text{ V}$	Maximum holding current for $U_D \geq 6 \text{ V}$	$\theta_j - 40^\circ\text{C}$ + 25°C +125°C	$I_H$	350 mA 250 mA 150 mA	
4.2. Oberer Einraststrom $I_G \geq 1 \text{ A}$ , $t_{gt} \geq 15 \mu\text{s}$ , Anstieg in 1 $\mu\text{s}$ auf 1 A	Maximum latching current $I_G \geq 1 \text{ A}$ , $t_{gt} \geq 15 \mu\text{s}$ , rise to 1 A in 1 $\mu\text{s}$	$\theta_j - 40^\circ\text{C}$ + 25°C +125°C	$I_L$	2,0 A 1,0 A 0,5 A	
4.3. Zündverzug bei $U_D \geq 200 \text{ V}$ , $\theta_j \geq 25^\circ\text{C}$ und Steuerstromanstieg in 1 $\mu\text{s}$ auf 1 A 3 A	Gate controlled delay time for $U_D \geq 200 \text{ V}$ , $\theta_j \geq 25^\circ\text{C}$ and gate current rise in 1 $\mu\text{s}$ to 1 A 3 A			$\leq 4 \mu\text{s}$ $\leq 2 \mu\text{s}$	
4.4. Periodisch zulässiger Einschaltstrom für $RC$ -Entladung mit beliebiger Stromsteilheit bei Ansteuerung mit $I_G \geq 1 \text{ A}$ , Anstieg 1 $\mu\text{s}$ und $\theta_{j(0)}$ , $I_G \approx I_{GT}$ (Punkt 3.1.) und $\theta_{j(0)}$	Admissible periodic switch-on current for $RC$ discharge with arbitrary rate of rise of on-state current for $I_G \geq 1 \text{ A}$ , rise time 1 $\mu\text{s}$ , at $\theta_{j(0)}$ , $I_G \approx I_{GT}$ (3.1.) and $\theta_{j(0)}$			100 A 50 A	
4.5. Kritische Stromsteilheit	Critical rate of rise of on-state current	$\theta_j + 125^\circ\text{C}$	$S_{I \text{ krit}}$	100 A/ $\mu\text{s}$	
4.6. Kritische Spannungssteilheit bei Anstieg der Spannung auf 100%, 67% bzw. 33% $U_{DRM}$	Critical rate of rise of off-state voltage for rise of voltage to 100%, 67%, 33% $U_{DRM}$	$\theta_j + 125^\circ\text{C}$	$S_U \text{ krit}$	100% 67% 33% $U_{DRM}$	
BSt L35 ... BSt L35 ... S9 BSt L35 ... S10	BSt L35 ... BSt L35 ... S9 BSt L35 ... S10			— 200 100 500 200 1000	1000 V/ $\mu\text{s}$ 2000 V/ $\mu\text{s}$ 3000 V/ $\mu\text{s}$
4.8. Freiwerdezeit bei negativer Sperrspannung $\geq 100 \text{ V}$	turn-off time for reverse voltage $\geq 100 \text{ V}$	$\theta_j + 125^\circ\text{C}$	$t_q$	200 $\mu\text{s}$ typ.	

5. Thermische Grenzwerte		Maximum thermal ratings	
5.1.	Sperrschiichttemperaturbereich für Dauerbetrieb	Junction temperature range for continuous operation	$\vartheta_j$ -40 °C bis +125 °C
5.2.	Lagerungstemperaturbereich	Storage temperature range	$\vartheta_s$ -40 °C bis +150 °C
5.3.	Wärmewiderstand für Konstantstrom	Thermal resistance for constant current	$R_{th\ JG}$ 0,2 K/W
5.4.	Wärmewiderstand für Impulsströme	Thermal resistance for pulsed current	Diagramm 17
5.5.	Wärmewiderstand der Kühlkörper	Thermal resistance of the heat sinks	Diagramm 60
6. Mechanische Werte		Mechanical data	
6.1.	Gewicht des Thyristors ohne Kühlkörper mit Kühlkörper HK02 mit Kühlkörper LK17	Thyristor weight without heat sink with heat sink HK02 with heat sink LK17	250 g 950 g 1850 g
6.2.	Zulässiges Anzugsdrehmoment (Sollwert) bei Befestigung auf Kühlkörper bei Befestigung mit Mutter	Admissible tightening torque (nominal value) for attachment to heat sink for tightening a nut	40 Nm 40 Nm
6.4.	Schüttelfestigkeit ohne Kühlkörper (Schüttelfrequenz 50 Hz)	Vibration resistance without heat sink (vibration frequency 50 Hz)	5 g
6.5.	Kriechstrecke Anode—Kathode	Creep distance anode—cathode	18 mm
6.6.	Feuchteklaasse nach DIN 40 040	Humidity class according to DIN 40 040	C

7. Schutzglieder		Protective components	
7.1. Kurzschlußschutz im Zeitbereich einer Halbwelle (40 bis 60 Hz), größte zulässige Sicherung für Gleichrichterbetrieb (Spannungssicherheitsfaktor $\geq 2,35$ )		Short-circuit protection in one half cycle 40 to 60 Hz maximum admissible fuse rating for rectifiers operation (voltage safety factor $\geq 2,35$ )	
Typ	$I_{eff}/U_{eff}$	Anschlußspannung bei einer Sicherung im Kurzschlußkreis	Anschlußspannung bei zwei Sicherungen im Kurzschlußkreis
Type		Terminal voltage with one fuse in short circuit	Terminal voltage with two fuses in short circuit
3NC2 425	200 A/ 500 V	150 V bis 380 V	220 V bis 500 V
3NC2 427	250 A/ 500 V	150 V bis 160 V	220 V bis 300 V
3NE3 425	200 A/1000 V	300 V bis 550 V	400 V bis 550 V
3NC1 431	350 A/ 500 V	90 V bis 270 V	90 V bis 500 V

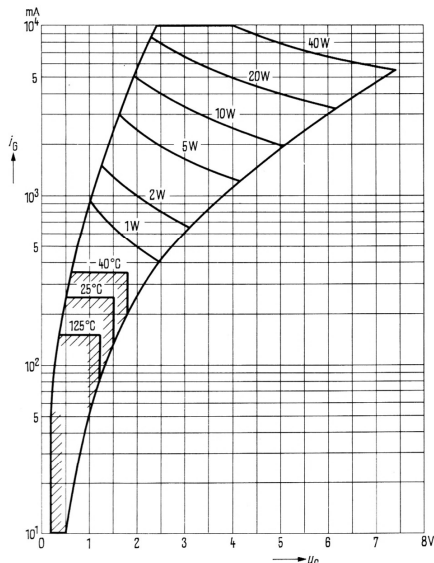
7.2. TSE-Beschaltung parallel zum Thyristor Netzbetrieb 40 bis 60 Hz, $u_k = 4$ bis 8%		TSE-wiring in parallel to thyristor mains operation 40 to 60 Hz, $u_k = 4$ to 8%	
Schaltung	Anschlußspannung	Kondensator	Widerstand
Circuit	Terminal voltage	capacitor	resistor
allgemein — general B/DB	125 bis 250 V	0,68 $\mu$ F B25835-A6684-K7 0,68 $\mu$ F B25835-A6684-K7	22 $\Omega$ /15 W GWS15SS-22 $\pm 10\%$ 33 $\Omega$ /15 W GWS15SS-33 $\pm 10\%$
allgemein — general B/DB	250 bis 380 V	0,33 $\mu$ F B25835-A6334-K7 0,33 $\mu$ F B25835-A6334-K7	22 $\Omega$ /20 W GWS20SS-22 $\pm 10\%$ 33 $\Omega$ /20 W GWS20SS-33 $\pm 10\%$
allgemein — general B/DB	380 V bis 500 V	0,22 $\mu$ F B25835-A6224-M 0,22 $\mu$ F B25835-A6224-M	33 $\Omega$ /20 W GWS20SS-33 $\pm 10\%$ 47 $\Omega$ /20 W GWS20SS-47 $\pm 10\%$

**10 Durchlaßkennlinien (Streubereiche)**  
On-state characteristics (spread)

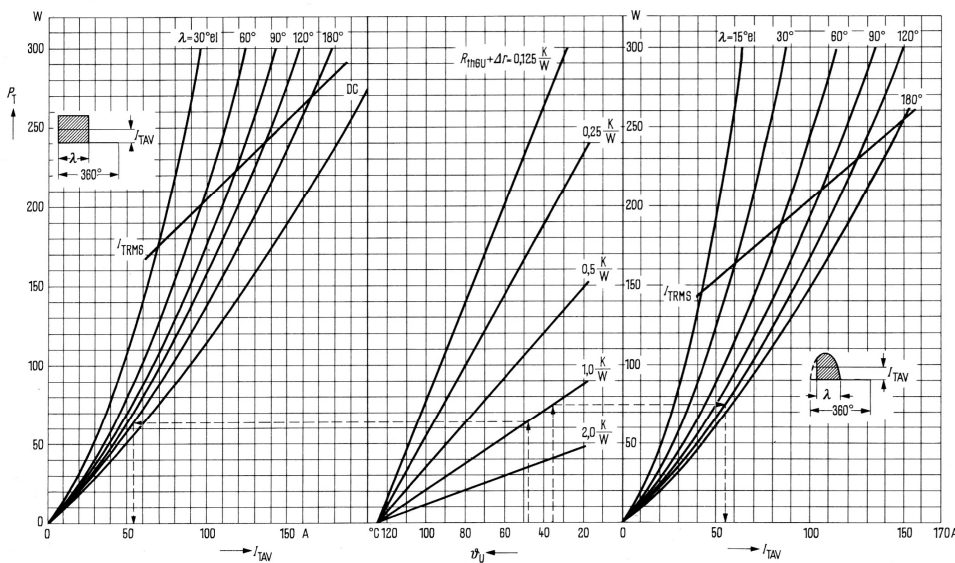


[www.datasheetcatalog.com](http://www.datasheetcatalog.com)

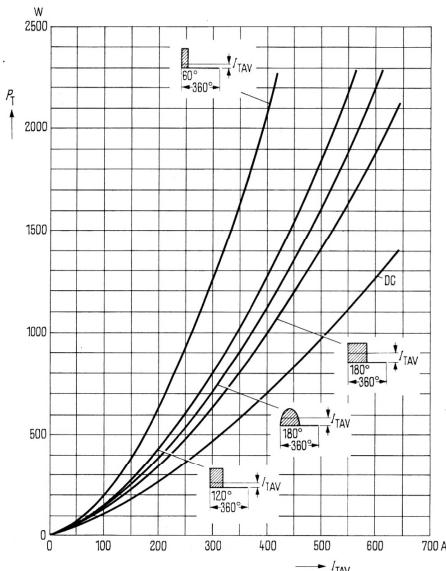
**11 Eingangskennlinien, Zündbereiche und Kurven konstanter Verlustleistung**  
Gate input characteristics  
with trigger region and curves of constant gate power loss



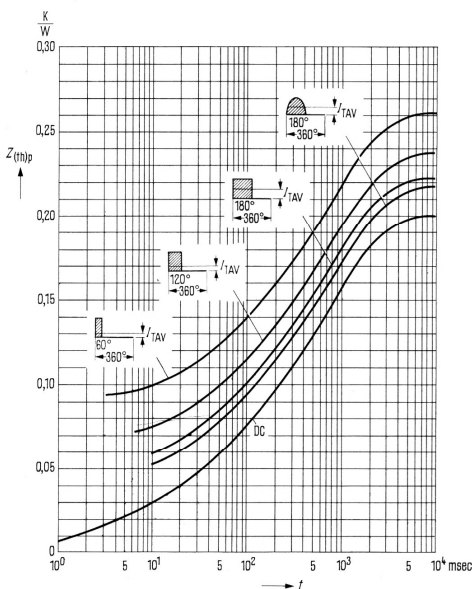
**13 Durchlaßverlustkennlinien, Diagramm zur Ermittlung von Grenzgleichströmen für unterschiedliche Kühlbedingungen, 40 bis 60 Hz Netzbetrieb**  
On-state power loss characteristics, diagram for the determination of maximum mean on-state currents under different cooling conditions 40 to 60 Hz mains



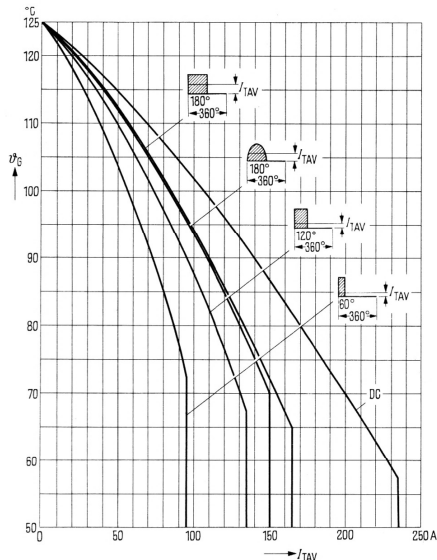
- 14 Durchlaßverlustkennlinien (Überstrombereich)**  
40 bis 60 Hz Netzbetrieb  
**On-state power loss characteristics (current overload range)**  
40 to 60 Hz mains



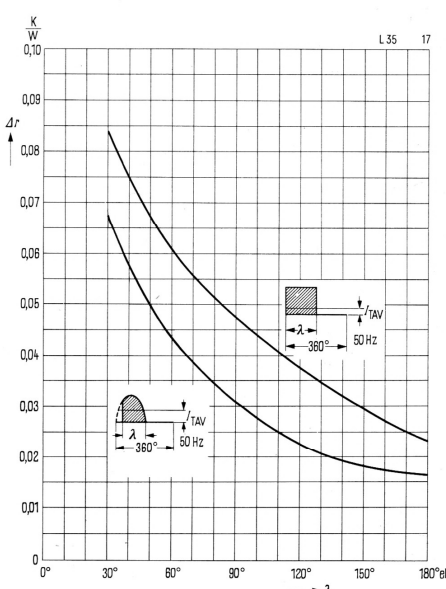
- 16 Transiente Wärmewiderstände**  
für Konstantstrom und Impulsstrom 40 bis 60 Hz  
**Transient thermal resistances**  
for constant current and pulsed current 40 to 60 Hz



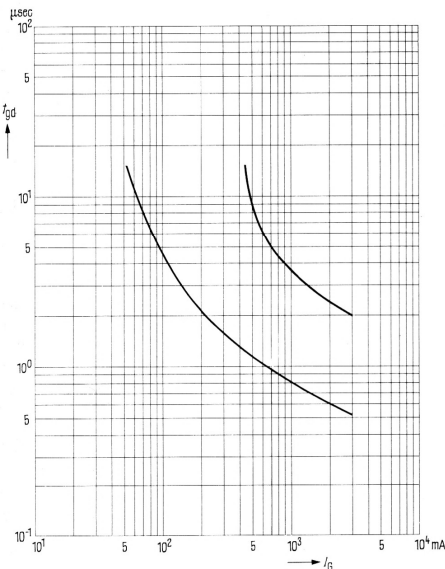
- 15 Zulässige Gehäusetemperatur**  
in Abhängigkeit vom Durchlaßstrom, 40 bis 60 Hz Netzbetrieb  
**Admissible case temperature**  
dependence on on-state current, 40 to 60 Hz mains



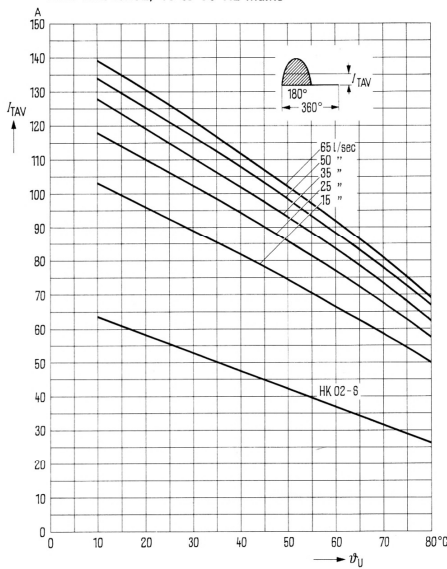
- 17 Wärmewiderstände  $\Delta r$**   
**Thermal resistances  $\Delta r$**



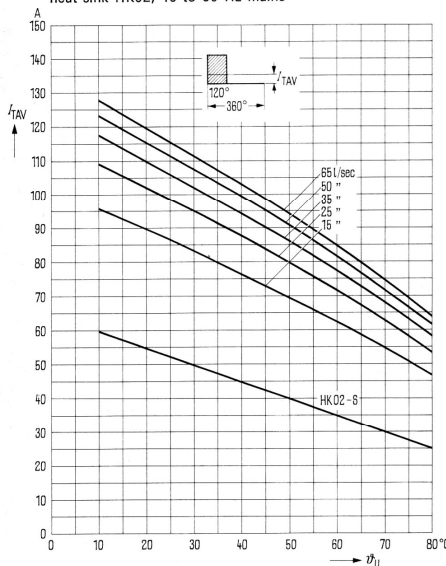
- 20 **Zündverzugszeit** in Abhängigkeit vom Steuerstrom,  
Streubereich bei  $\vartheta_j = 25^\circ\text{C}$ ,  $u_{AK} \geq 200\text{ V}$   
**Gate controlled delay time** dependence on gate current,  
spread for  $\vartheta_j = 25^\circ\text{C}$ ,  $u_{AK} \geq 200\text{ V}$



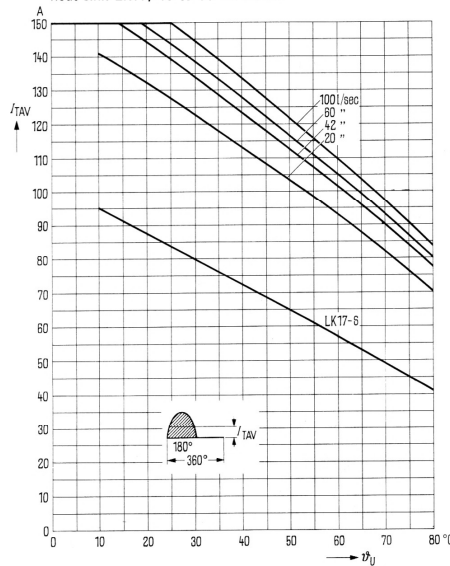
- 40a **Grenzgleichströme** in Abhängigkeit von KühlLufttemperatur und KühlLuftmenge,  
Kühlkörper HK02, 40 bis 60 Hz Netzbetrieb  
**Maximum mean on-state current** dependence on cooling air temperature and flow rate,  
heat sink HK02, 40 to 60 Hz mains



- 40b **Grenzgleichströme** in Abhängigkeit von KühlLufttemperatur und KühlLuftmenge,  
Kühlkörper HK02, 40 bis 60 Hz Netzbetrieb  
**Maximum mean on-state current** dependence on cooling air temperature and flow rate,  
heat sink HK02, 40 to 60 Hz mains

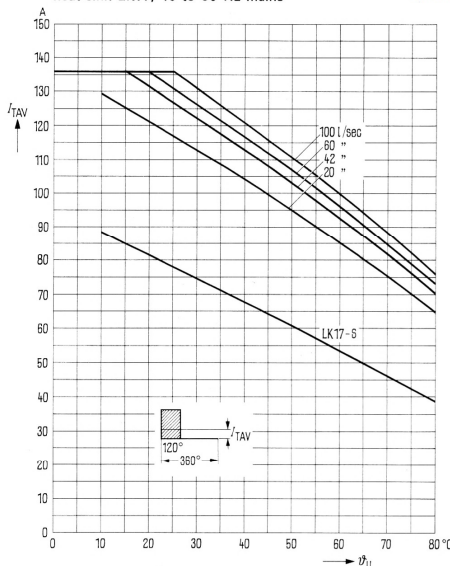


- 40c **Grenzgleichströme** in Abhängigkeit von KühlLufttemperatur und KühlLuftmenge,  
Kühlkörper LK17, 40 bis 60 Hz Netzbetrieb  
**Maximum mean on-state current** dependence on cooling air temperature and flow rate,  
heat sink LK17, 40 to 60 Hz mains

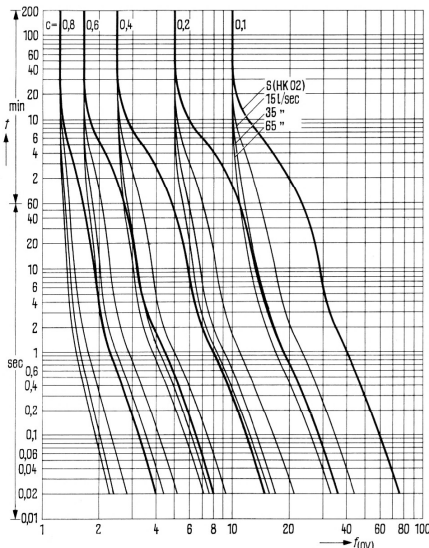


- 40d **Grenzgleichströme** in Abhängigkeit von Kühlumstemperatur und Kühlumfang, Kühlkörper LK17, 40 bis 60 Hz Netzbetrieb  
**Maximum mean on-state current dependence** on cooling air temperature and flow rate, heat sink LK17, 40 to 60 Hz mains

[www.datasheetcatalog.com](http://www.datasheetcatalog.com)



- 42 a **Überstromfaktorkennlinien**, Kühlkörper HK02  
 (Vorlastfaktor c, Grenzgleichströme siehe 2.3.)  
**Overload current factor characteristics**, heat sink HK02  
 preloading factor c, maximum mean on-state current see 2.3.



- 42 b **Überstromfaktorkennlinien**, Kühlkörper LK17  
 (Vorlastfaktor c, Grenzgleichströme siehe 2.3.)  
**Overload current factor characteristics**, heat sink LK17  
 preloading factor c, maximum mean on-state current see 2.3.

